

**משרד החקלאות - דוח לתוכניות מחקר
לקрон המדען הראשי**

א. נושא המ依法追究 (בעברית) מערכת התראת לגילוי ויזיה חומרים מסוכנים בבדיקות דגימות מבוססת שיטות ספקטרוליות מתקדמות בזמן אמת	קוד זיהוי 16 - 0013 - 780
---	-------------------------------------

ג. כללי	
מוסד מחקר של החוקר הראשי	
אוניברסיטת אריאל	
תאריך	שם המחקר
הדו"ח למקורות המיומן	עבורה מוגש הדו"ח
התחלת	מסכם
שנה חדש /	שנה 01 / 2014 שנה 12 / 2016

ב. צוות החוקרים	
שם המשפחה	שם פרטי
אברמוביץ	אמיר
חוקר ראשי	
רפל גולדשLAGER	1 2 3 4 5 6 7
שנאן נפתלי	

ד. מקורות מימון עבורם מיועד הדו"ח	
שם מקור המימון	סכום שאושר למחקר בשנת תיקוב הדו"ח
משרד החקלאות	420,000

ה. תקציר שים לב - על התקציר להיכתב בעברית לפי סעיף ה' שבנהניות לכתיבת דיווחים
<p>שמירה על בריאות הדגים בבריכה מחייבת בדיקה של רמות החומרים המטוכנים אשר עלולים להימצא בבריכה. חומרים כדוגמת ניטריטים וניטרטים הינם מסוכנים ועלולים לפגוע בבריאותו של הדג. במהלך המבחן נבחנו שיטות מדידה ספקטרוליות המתבססות על שיטת האידוי. לכל החומרים בטבע יש חתימה ספקטרלית ולבן בשנת המבחן הראשונה חקרו את החותמת הספקטרלית של אמונה ניטריטים וניטרטים. תוצאות המבחןocabו על כך כי לאמונה יש פס בליעה אופייני בתהום האינפרא אדום ביןוני MIR אשר יכול לתת אינדיקציה על הימצאות של אמונה וריכוזה במים. התוצאות המצוירות מוכיחות כי ניתן להזות אמונה ניטריטים וניטרטים. כן מוצגת קונפיגורציה וארונות של משך מדידה בזמן אמת לניטור חנקות בדרכות דגים. תוצאות המבחן מראות כי שיטת האידוי שوتחה במהלך המבחן, מאפשרת זיהוי חומרים מסוכנים כגון אמונה בבריכת הדגים ומאפשרת בניית מערכת אשר תאפשר ניטור בזמן אמת של רמות החומרים הנ"ל ותתריע בכל עת שהריכוך מסקן את הדגים בבריכה.</p>

ו. אישורים
הנני מאשר שקראי יאטת ההנחיות להגשת דיווחים לקрон המדען הראשי והדו"ח המצורף מוגש לפניה

18/9/17
תאריך
(שנה) (חודש) (יום)

דשות
המחקר

אמרכלות
(רשות המבחן)

מינהל

המחלקה

פוקולטה

(פוקולטה)

ר.א.

אוניברסיטת אריאל בשומרון
טלפון: 580367290

**מערכת התראה לגילוי זיהוי חומרים מסוכנים בבריכות דגים מבוססת שיטות ספקטרליות
מתקדמות בזמן אמת**

Monitoring of Ammonia concentration in fish ponds using evaporation and advanced spectroscopic methods

שנת המחקר: אחרונה מתיוך 3 שנים

מושג לקרן המדען הראשי במשרד החקלאות ע"י

אמיר אברמוביץ' המחלקה להנדסת חשמל ואלקטרוניקה, אוניברסיטת אריאל

שנאן הרפז המחלקה למדגה מינהל המחקר החקלאי, מכון וולקני

ונתלי גולדשלגאר תחנה לחקר הסחף, משרד החקלאות ואוניברסיטת אריאל

Amir Abramovich – Ariel University Department of Electrical and Electronic Engineering. E-mail:
amir007@ariel.ac.il Tel: 972-3-9066389

Sheenan Harpaz – Agricultural Research Organization the Volcani center, Department of poultry and aquaculture.
harpaz@agri.gov.il

Naftaly Goldshlegar - Soil Eosion Reasarch sataion and Ariel University

תקציר

שמירה על בריאות הדגים בבריכה מחייבת בדיקה של רמות החומרים המסוכנים אשר עלולים להיות מצויים בבריכה. חומרים כגון אמונייה ניטריטים וניטרטים הינם מסוכנים ועלולים לגרום לבביריאותם של הדג. במהלך המחקר נבחנו שיטות מדידה ספקטרליות המתבססות על שיטת האידוי. לכל החומרים בטבע יש חתימה ספקטרלית ולבן בשנת המחקר הראשונה קרכנו את החותמת הספקטרלית של אמונייה ניטריטים וניטרטים. תוצאות המחקר הצביעו על כך כי לאמונייה יש פס בליעה אופייני בתחום האינפרא אדום בינווני MIR אשר יכול לתת אינדיקציה על הימצאות של אמונייה ורכיבזה במים. התוצאות המצורפות מוכחות כי ניתן להזוהה אמונייה ניטריטים וניטרטים. כן מוצגת קונפיגורציה ראשונית של מערכת זיהוי חומרים מסוכנים כגון אמונייה בבריכת הדגים ומאפשרת בניית מערכת אשר תאפשר ניטור בזמן אמת של רמות החומרים הנ"ל ניתן לחברה למערכת אשר תתריע בכל עת שהריכוז מסכן את הדגים בבריכה.

הצהרת החוקר הראשי:

המצאים בדו"ח זה הינם תוצאות ניסויים.

הניסויים מהווים המלצות לחקלאים: כן*/לא (מחק את המיותר)

***במידה וכן, על החוקר להמציא פרטים על הגוף שבאמצעותו מופץ המידע (כמו: SHA"ט)**

17/9/18 **תאריך:**

חתימת החוקר

רשימת פרסומים שנבעו מהמחקר:

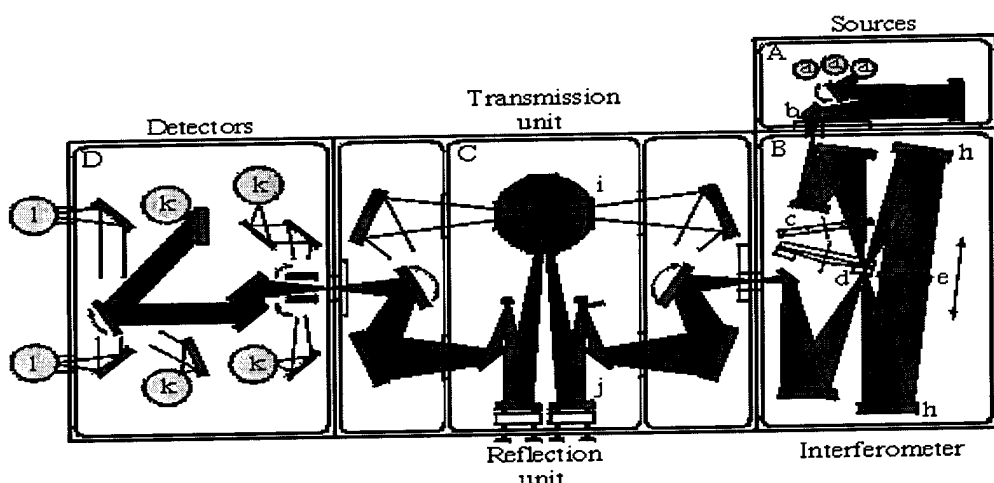
1. הנושא נמצא בשלבי רישום פטנט ולכון לא ניתן לפרסם כתע, בהמשך בהחלט נפרסם
2. עובdot מסמך של התלמיד אהרון גריינברג שהוגשה בסוף שנת 2016 והתקבל בציון -
הצטיינות יתרה.

הדו"ח המסכם של מחקר "מערכת הטראה לגלי זיהוי חומרים מסוכנים בבריות דגים מבוססת שיטות ספקטרליות מתקדמות בזמן אמת" מתאר את העבודה המחקרית שנעשתה לאורך כל אחת משנות מחקר ומסכם את כל תוצאות המחקר.

במהלך שנת המחקר הראשונה הцентр שילו סטודנט מחקר, אהרון גリンברג, אשר במסגרת עבודתו התיזה שלו (ראה ביוגרפיה) ערך את סקר הספרות וחקר את פס' הבליעה של החומרים המסוכנים אמונייניטרט ונטירט בבריכת הדגים. במסגרת המחקר, הוקם בנק חתימות הכלול את הפירוט של פס' הבליעה האופייניים של החומרים המסוכנים השונים. מפת קוצר מקום לא פורטו כלל הניסויים שבוצעו במהלך המחקר. פורט מדויק של כל העבודה המחקרית נמצא בעבודת המוסמך של הסטודנט אהרון גリンברג ומסוכם בדו"ח שנה א'. מערך המדידה של המדידות הספקטרליות כלל את ה- FTIR ואת מערכת ה-ATR של חברת Harick

מערכת FTIR [1]

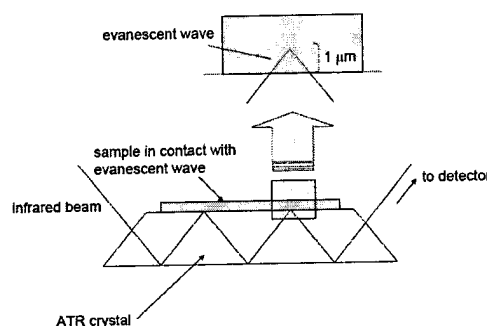
מערכות FTIR מתקדמות מאפשרות למדוד את התכונות האופטיות של חומרים נבדקים בתחוםי תדר נרחבים ביותר. בoubleה לגלים מיימטרים קיימת מערכת FTIR מסוג v 113 ISF של חברת BRUKER. מערכת זו מtabסת על אינטראומטר מילסון, מראה מתכוונת, מפצל קרן, מקורות קרינה רחבי פס וגלאים מתאימים אשר מאפשרים את קבלת החומרת הספקטרלית של החומר הנבדק לאחר ביצוע התמרת פורייה מתאימה [1] (ראה איור מס' 1). המערכת שברשותנו שודרגה באופן שתוכל למדוד את התכונות האופטיות של החומר הנבדק גם בתחוםי ה- FIR וה- MMW. באIOR מס' 1 ניתן לראות סכמה עקרונית של מערכת ה- FTIR.



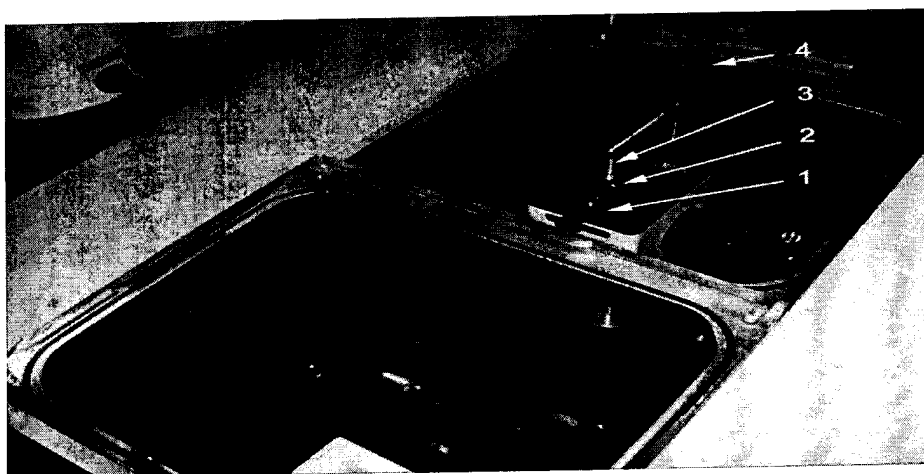
השבירה הקומפלקסים [1]. מערכת ה-FTIR שברשותנו מאפשר רוחלויות מדידה מהגבותות ביותר (0.03cm^{-1} שזה $\text{C-2Hz} 0.9$) ביחס למערכות FTIR של יצרנים אחרים.

[1,2] ATR-FTIR

מדידת ATR מושבסת על מדידת ה- Evanescent wave החודר לתוך חומר נבדק במצב בו יש החזרה מוחלטת מהמשק בין החומר הנבדק לגביש של המדידה כפי שמודגם באירור מס' 2. ה- Evanescent wave מהווים פתרון למשוואות מקסול במצב בו מתקייםת החזרה מלאה במשק בין שני חומרים בעלי מקדם שבירה שונה. מידת החדרה של ה- Evanescent wave נקבעת בהתאם לחומר המונח על הגביש של המערכת ולפיכך אנו מקבלים חתימה ספקטראלית בהתאם לפסי בליעה או העברת השם הנבדק. שיטה זו הוכחה במשר השנים כשיטה יעילה ביותר המאפשרת אפיון ספקטראלי מהיר ואמין של דוגמא ללא צורך בהכנות מיוחדות. בשיטה זו ניתן לבדוק שכבות דקות, מוצקים, אבקות ונוזלים. כל אלו מוצמדים לפני הגביש ומאפשרים למדוד את ה- Evanescent wave החודר לתוך הדוגמא בתחום תדר נרחבים של FTIR. למעשה מדידה זו מזכירה אביזר הכלול את הגביש בדרך כלל בעל מקדם שבירה גבוה וכן את התקנתו בתוך תא המדידה של ה- FTIR. המערכת לגלי מילימטרים והת ממטרים מצויה במערכת ATR מודם MVP Pro Star המותקנת בתוך תא המדידה של ה- FTIR כפי שנitin להראות באירור מס' 3.



איור מס' 2: תיאור ה- Evanescent wave החודרים לתוך הדוגמא במצב של החזרה מלאה.



איור מס' 3: מערכת MVP Pro Star מותקנת בתא המדידה של ה- FTIR.

1-sampling plate, 2 - diamond crystal, 3 - pressure head, 4 - pressure applicator knob

[3] OPUS Spectroscopy Software

התוצאות הספקטרליות שנמדו באמצעות ה- FTIR מעובדות באמצעות תוכנת OPUS [3]. תוכנת OPUS מאפשרת את העיבודים המתאימים הבאים: חיפוש ויזיה של חומרים על פי פסיבי ביליה מtower מגאר נתונים מסחרי או מגאר נתונים שהוקם ע"י החוקרם. התוכנה כולל עיבוד נתונים הכלל חישובים ספקטרליים, החסרת ספקטרומיים, פיצוי השפעות אטמוספירה ותחום נרחב של פונקציות מתמטיות כגון נירמול, נגזרות, סטטיסטיות נרחבת, התמורות פוריה והtransform קרמיס-סקרונינג ועוד מניפולציות על הספקטרומים הנמדדים [3]. כל חישובים הקשורים במדידות הספקטרום נעשו באמצעות תוכנת OPUS כולל התאמות פסיבי ביליה וחישובים סטטיסטיים.

במהלך שנה א' למחקר בוצעו ודווחו המשימות הבאות:

1. סקר ספורות: רעלים וחומרים ביולוגיים המאמרים שנסקרו מופיעים בראשית הביבליוגרפיה

2. הקמת בנק חוותות בתחום ה MIR הרעלים והחומרים הנ"ל

3. חקירת הקשר הכימי ואופני הביליה של החומרים הנ"ל בתחום ה MIR

4. ביצוע מדידות ראשוניות במים והשוואה לבנק הנתונים

5. *הרחבת המדידות בתחום ה FIR ו- MMW

לגב' משימה מס' 5 אנו מבקשים להציג כי נעשו מדידות בתחום ה- FIR אולם לא נמצא פסיבי ביליה אופייניים של החומרים המסוכנים בתחום זה. יתרה מכך מצאנו כי בilyut המים ורעש הרקע בתחום זה גבוהים. בנוסף מצאנו כי גביש הילום המשמש אותנו במדידות ה- ATR בולע חלק מקרינה בתחום ה- FIR, דבר הגורם להקטנה משמעותית של היחס אות לרעש (SNR) של המערכת ומקשה על הבדיקה בסיסי ביליה אם קיימים. כתוצאה מכך החלפנו להתקן בפסיבי בilyut ברורים וחזקים שנמצאו במהלך מחקר שנה א' ובשלב הקמת בנק הנתונים שנבנה על סמך המדידות הספקטרליות ונמצאים בהתאם לספרות המקצועית ולמבנה המולקולרי של החומרים כפי שהובא בדוח מסכם שנה א'.

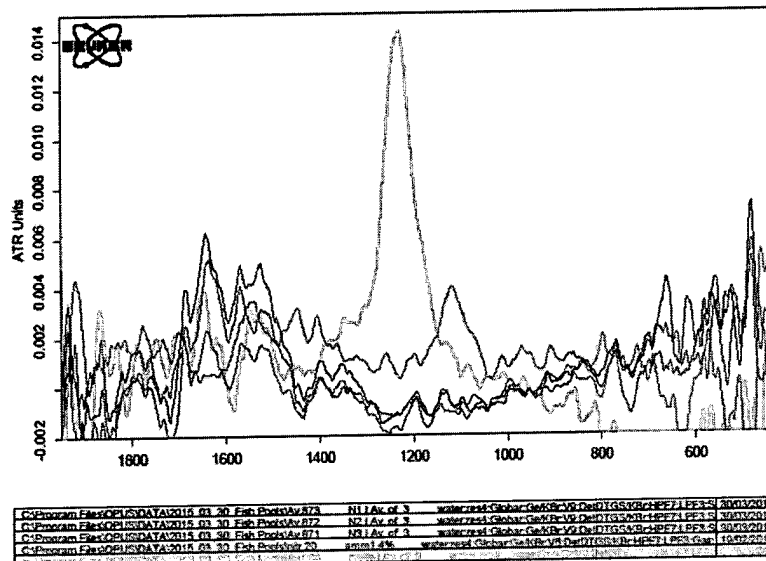
בשנת המחקר השנייה התמקמנו במדידת אמונה וনיטרט ממ"י אקווריומים בהם הוחזקו דגים ומtower מי בריכות דגים. במהלך שנה זו במחקר נערכו מדידות ספקטרליות עבור דגים של מי בריכות דגים ממיקומות שונים בהם גדי דגים בתנאי זהנה שונים. מי הבריכות נבדקו על ידיurrecot מידה סטנדרטיות בהתאם לטבלה מס' 1 המצורפת:

טבלה מס' 1: דוגמה לאחת המדידות שנערכו ע"י Urca של Merck. כל הערכות מבוטאים ביחידות של

.ppm

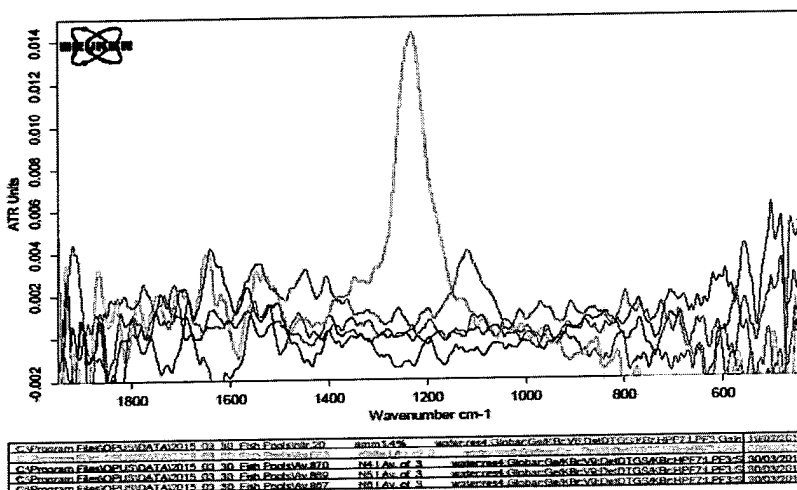
nitrite	NH3	Ammonia total	דגים
0.3	0.4	0.5	1+2
0.2	2.3	3	3+4
0	3.9	5	5+6

. בדוח מסכם שנה ב' ניתן לראות את תוצאות אחת המדידות הספקטרליות (איור מס' 3 בדוח שנה ב') אשר נעשו עבור דגימות 1, 2, ו- 3 (מסומן בגרף N1,N2, N3). מדידות אלו מובאות באיר מס' 4. תוצאות מדידת מי הבריכות הושוו למדידות ופסי הבליעה של החומרים המסוכנים בبنק הנתוניים שהוקן בשנה א'. נמצא מתאם גבוה בין התוצאות שהתקבלו בשימוש בערכה ותוצאות הבדיקה הספקטרלית.



איור מס' 4: תוצאות ספקטרליות אופייניות של מערכת FTIR-ATR עבור דוגמאות 1,2,3 בהשוואה לפסי בליעת אלומוניה (וורוד) וניטריט (תכלת) מבנק הנתוניים.

באיור מס' 5 ניתן לראות את המדידות הספקטרליות עבור הדוגמאות 4,5,6 (מסומנות כ- N6, N5, N4, N6, N7 בגרף).



איור מס' 5: תוצאות ספקטרליות אופייניות של מערכת FTIR-ATR עבור דוגמאות 4,5,6 בהשוואה לפסי בליעת אלומוניה (וורוד) וניטריט (תכלת) מבנק הנתוניים.

התוצאות של דוגמאות 4,5,6 המבאות באIOR מס' 5 דומות מאד לאיו המופיעות באIOR 4 ובדוח מסכם שנה ב' מבנית פס' הבילעה של אמונה וניטרט מבחן הנתונים. והתאמה טובה עם תוצאות המדידה הימית המבאות בטבלה 1.

ניתוח התוצאות מופיע בדוח שנה ב' וכן התוצאות שנתקבלו ממי בリיכוט הדגים בשיטת ה- ATR לא היו מספקות שכן לא ניתן היה למדוד בהצלחה ריכוזים הנמוכים מ 2KK1 ולכן היה נדרש שיכלול ושידרג בשיטת המדידה כפי שmoboa בדוח מסכם של שנה ב'. אנו מבקשים להציג כי עיבוד הנתונים שנעשה במהלך שנות המבחן השנייה וגם במהלך השנה השלישי נעשו בעזרת תוכנת עיבוד ספקטרלית OPUS אשר מבצעת חישובים והערכות סטטיסטיות לגבי מקום של פס'bilie ולבבי השוואה של פס'bilie בין מספר דוגמאות שונות וחישובים סטטיסטיים לגבי התאמה ספקטרלית בפס'bilie כפי שופיע במשימה 10 להלן.

במהלך שנה ב' בוצעו המשימות הבאות:

6. ***מדידות ספקטרליות במים בתחום FIR לזייה רעלים וחומרים ביולוגיים באקווריום עם דגים**

7. ****תכנון מערכת למדידות ספקטרליות בתחום MMW**

8. ***ביצוע מדידות מסכמות באקווריומים עם דגים ומ' בリיכוט דגים והערכת יעילות השיטה בתחום MMW**

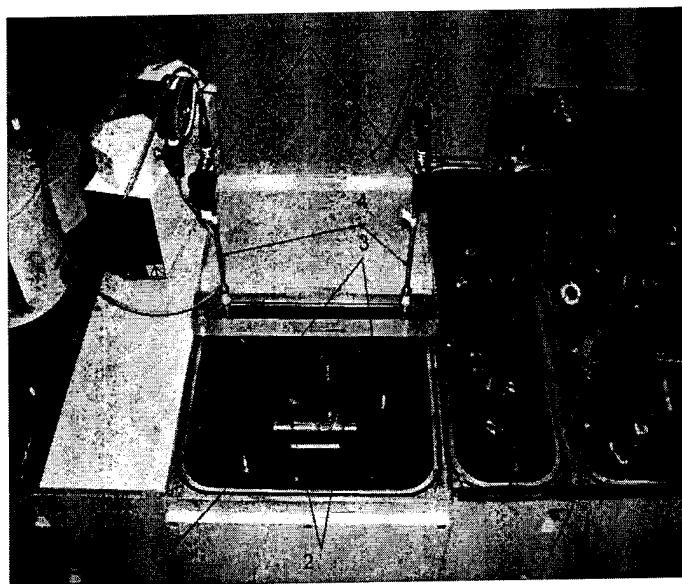
9. **תכנון מערכת מבוססת דיזט ליזיר מתכוונת לגלי זיהוי פס'bilie האופייניים על סמך בנק הנתונים שהוקמו במהלך המבחן הנוכחי**

10. הערכת ריכוז המזחמים במים תוך שימוש בשיטות סטטיסטיות מתקדמות, בנק החותמות הנ"ל ומדידת פס'bilie של המזחמים במים

*המדידות הספקטרליות כללו את החומרים: אמונה וניטרט בהתאם לפס'bilie אשר נמדד בسنة א' למחקר מי בリיכוט הדגים הובאו למעבדה והמדידות בוצעו עוד באותו יום.

**שלב זה של המבחן ולאור התוצאות שנתקבלו במחקר שנה א' לא נמצא פס'bilie בתחום ה- MMW בשל SNR נמוך שהזכיר קודם ומגבלת הממדים של גביש ה- ATR שברשותנו.

על רקע התוצאות המבאות באIORים 4 ו-5 ולאור הצורך להגיע לכשירות זיהוי ריכוזים נמוכים במיוחד אמונה בסדר גודל של PPM 1 ופחות, פיתחנו שיטה יחידת זיהוי אמונה מבוססת ספקטרוסקופיה של מכשיר ה- FTIR תוך ניצול התכונות הימיות ופס'bilie יחידים של אמונה (כפי שופיע בדוח שנה א'). לצורך המדידה התק霏ו בתוך תא המדידה של ה- FTIR תא גז מסג 3-BR2-TGS 2FTIR כפי שניתנו לראות באIOR מס' 6 (מסומן בספרה 1). לתא יש שני חלונות (מספר 2 באIOR מס' 6), מהם יוצאות צינורות פלסטיק גמישות (3) אל צינורות אל-חלד (4) המצוידות בשסתומי ברץ (5). היציאה מצינורות מוליכה מצד אחד (8) אל הקבוק הימי. והיציאה השנייה (6) מוליכה אל משאבת ואקום (7). השיטה הייחודית מבוססת על אידי האמונה מהמים כגז, ע"י יצירת ואקום. משאבת הוואקום יוצרת ואקום בתא הגז, בזמן שהברצים פתוחים, ובקבוק הימי סגור, לאחר שנוצר הלחץ הרצוי בתא הגז, סוגרים את הברץ המוליך אל המשאבה ופותחים את הברץ שmagיע מהבקבוק. בזרה זו אמונה, שמשקלה המולקולרי נמוך מאיר נשאבת בוואקום הנוצר מהר יותר בцинורית, וריכזה בדגימה עולה. בזרה זו יש סבירות רבה לקבלת תוצאות כמותיות של ריכוזים נמוכים במיוחד.

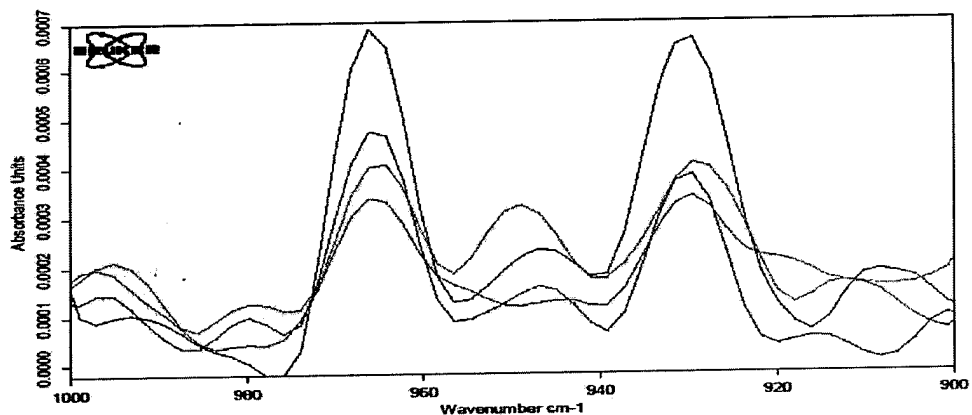


איור מס' 6: תיאור סכמטי של מערכת FTIR מדגם v113 ISF הכוללת תא גז.

לביקות המערכת השתמשנו ברכוזי אמונייה גבויים ובמי ברכיבים המכילים אמונייה. נבדקו ריכוזים של, 2ppm , 5ppm , 10ppm , על פי בדיקה עם ערכת זיהוי אמונייה מבוססת צבע של חברת Merck. המטרה הייתה להזוהה אמונייה בקוו הבלתי המוכרים בספרות ולשלול הפרעות שונות של גורמים נוספים במים, כמו כן לבדוק האם הריכוז של האמונייה בדגימה מושפע מהשיטה שפיתחנו. הבדיקה נעשתה בספקטרום MIR, במספרי גל -4000cm^{-1} .

תוצאות

באיר מס' 7 ניתן לראות את התוצאות שנתקבלו בשני פס' בליעה שונים של האמונייה במספרי גל -966cm^{-1} , 931cm^{-1} , בהתאם מלאה לספרות. עוד ניתן לראות באיר מס' 7, כי ישנה התאמה מסוימת בין רמת הספירה לבין הריכוז הנמדד. ערכי האמונייה שנבדקו כאן גבויים ביותר אך בבדיקה מי ברכיבים הדגימות ניתן להזוהה בבירור את האמונייה ברכיבים נמוכים, הקירה הטובה ביותר שמראה פוטנציאלי זיהוי מרבי היא הקירה במספר גל $.966\text{cm}^{-1}$.



איור 7: בדיקת אמונייה בתחום מספרי גל 1000-900: שחור - אמונייה ברכיב גל 966cm^{-1} , כחול - 10ppm , ירוק - 5ppm , אדום - 2.5ppm .

דינן ומסקנות

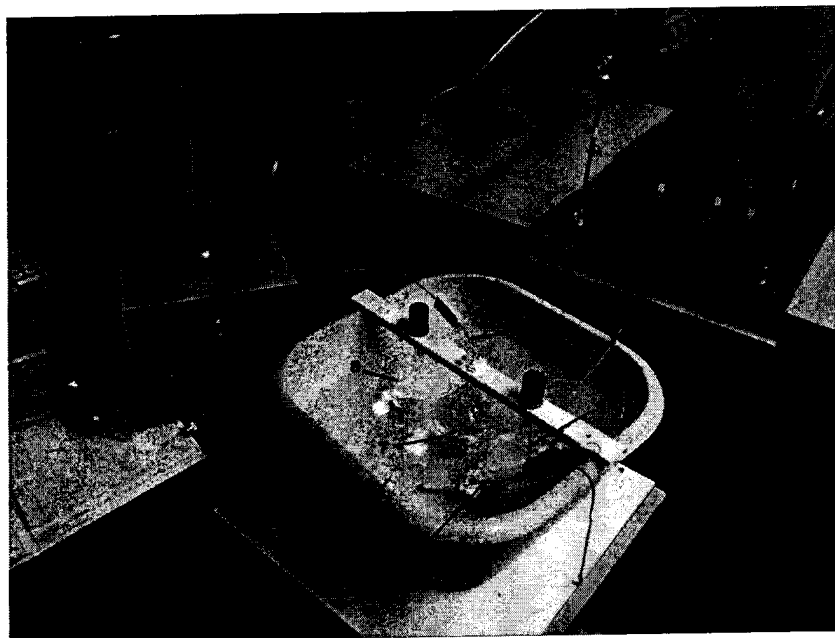
המטרה שהוגדרה לניסוי הייתה לבדוק האם השיטה שפותחה על ידיינו, אכן מסוגלת לזהות אמונה בריכוזים נמוכים יותר שכן האמונה רעליה לדגמים בריכוזים נמוכים. בתוצאות שהתקבלו ניתן לראות בבירור כי רשי הרקע הסביבתי פחתו בצורה משמעותית. השיאים בגרף, על אף שהם מפוזרים יותר, צפוי, בולטים בצורה כזו שמאפשרת זיהוי בטוח יותר של אמונה. בניסוי זה ניתן כבר לזהות די בклות ריכוזים נמוכים מאוד של אמונה, והיות ולא לבדוק סף זיהוי תחתון, קיימת ביןיסוי זה הבטחה ברורה לכך שהשיטה המוצעת על ידיינו יכולה לזהות אמונה ברמות הנמוכות יותר מלאה הממצאות דגים. הזיהוי הטוב ביותר, בוגוד לשיטה הקודמת, נצפה באיזור 966cm^{-1} , וגם תופעה זו היגיונית, היות ולא נעשה שימוש בשבירת האור ע"י הלום, ניתן לראות כי גם הקריאה במספר גל 931cm^{-1} , היא טובאה, אך הניתוח הסטטיטיסטי של תוכנת OPUS המשמשת כמערכת הפעלה של ה- FTIR, מראה כי סף הזיהוי נמור יותר.

ניסוי השיטה עם שינוי טמפרטורה

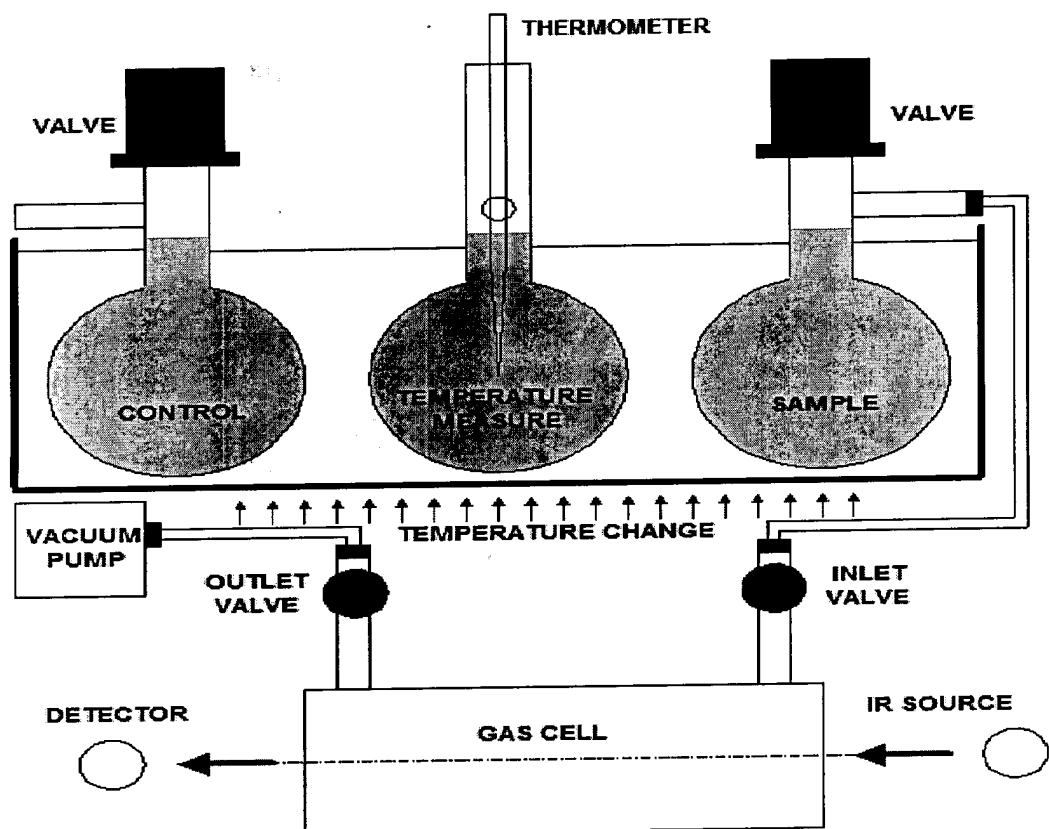
טמפרטורת המים בבריכות הדגים משתנה בהתאם לעונות השנה ועל כן חשוב היה לבדוק את יכולת הזיהוי של האמונה כתלות בטמפרטורה.

מטרת הניסוי הייתה על כן: לבחון את יכולת זיהוי האמונה בלתי מיוננת ע"י הספקטרומטר, בתנאים של טמפרטורה משתנה, היות ובריכות הדגים חשופות לסביבה ומוסיפות ממנה, ומכאן כי טמפרטורת המים נעה בין 0-10 מעלות צלזיוס בחורף עד כדי 33-30 מעלות צלזיוס בקיץ. ההנחה העומדת בסיס ניסוי זה היא כי קשה علينו לזהות אמונה בלתי מיוננת בטמפרטורה נמוכה יותר, כיוון שהאידי שלה יהיה נמור יותר. ע"פ המשוואה $\Delta T = PV, (P = \text{לחץ}, V = \text{נפח}, \text{ח} = \text{מספר מולקולות}, R = \text{קבוע הגז}, T = \text{טמפרטורה}),$ ניתן להבין כי כאשר $\text{ח}, V, R, \text{קבועים}$, ירידיה בטמפרטורה תגרום לירידה בלחץ, וPOCHOT אמונה בלתי מיוננת תשחרר מהמים אל מערכת הניסוי. כדי לבחון נושא זה הרכבנו מערכת ניסוי סגורה, כפי שניתן לראות באיזור מספר 8 ואילך מס' 9. בניסוי נעשה שימוש בבקבוקים מסוג 490250-SYNF של סיגמה-אולדרייך, העמידים לעבודות בזוקום, ומכללים פתח מילוי בעל אטם, וברח שחרור עם סות בחר.

כדי למנוע תנודותיות של גורמים ביוטיים בرمות האמונה הבלתי מיוננת במים במהלך הניסוי, הכנו תמיישה של מים מזוקקים ($\text{O}_2\text{H}_2\text{DiH}_2\text{O}$) עם 5ppm אמונה (TAN). התמיישה הוכנה במקום הניסוי והוכנסה מיד לתוך שני בקבוקים שנאטמו מיד לאחר המילוי. בקבוק נוסף מולא לצרכי מעקב אחר טמפרטורה. אחד הבקבוקים עם תמיישת האמונה חבר למערכת FTIR ע"י צינור פלסטיק ואילו השני נשאר אותו עד לסוף הניסוי, ושימש ביקורת לכך שאין איבוד של אמונה לסייע בה בזמן הניסוי. הבקבוקים הוכנסו לתוך אמבטי מים שקוררו באמצעות קרח ל- 4°C . מדידות בוצעו לבדיקת המכשיר בטמפרטורה זו, לפני פתיחת הברח. במהלך הניסוי נבדקה התמיישה כל 5°C בטוח שבין 35°C - 5°C , כאשר חימום המים נעשה ע"י הוספה הדרגתית של מים חמים לתוך. לכל בדיקה נערכו 7 חזרות. בתום הניסוי נבדקה התמיישה שבבקבוק הביבורת, ונבדקו H_2O ואמונה בעזרת ערכה מבוססת צבע של חברת Merck. התוצאות נותחו במספר גל 966cm^{-1} בעזרת תוכנת OPUS שモותאמת לספקטרומטר של Bruker.



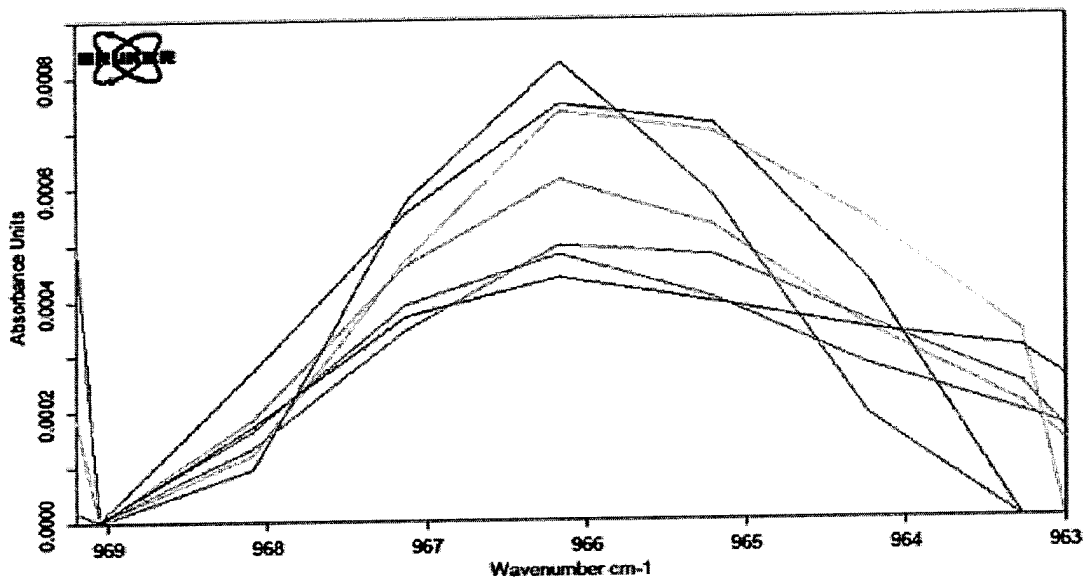
איור 8: מערכת הניסוי לבדיקת השפעות טמפרטורה. 1- בקבוק הניסוי. 2- צינורית הפלסטיκ המוליכה אל תא הגז. 3- תא הגז. 4-ספקטרומטר FTIR. 5- מד טמפרטורה. 6- מד הטמפרטורה בתוך בקבוק המעקב. 7- בקבוק המעקב לבדיקת הטמפרטורה בתוך הבקבוקים. 8- בקבוק הביקורת. 9- בקבוק המים בתווך של הבקבוקים. 10- מד טמפרטורה למעקב אחרי טמפרטורת התווך.



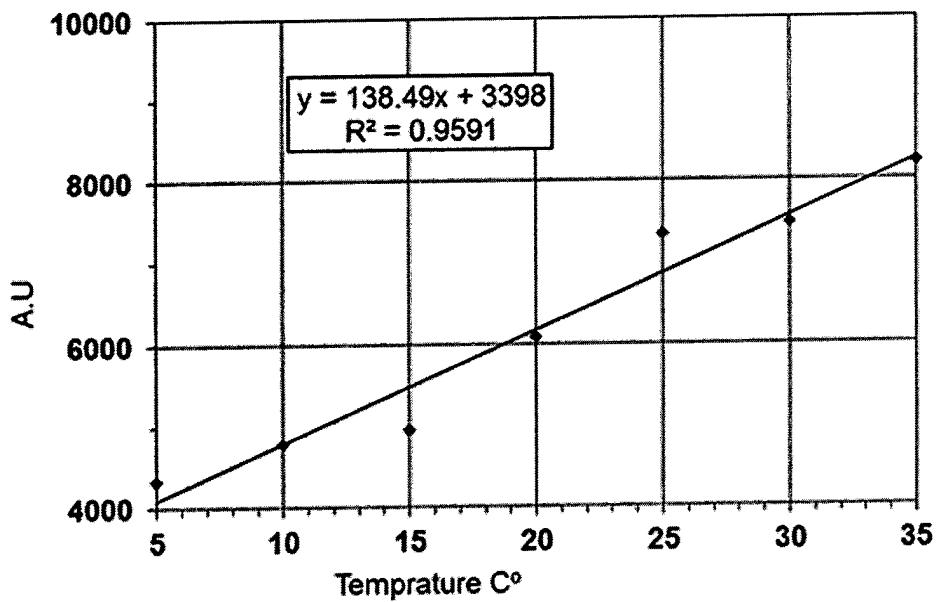
איור 9: סכמת הניסוי לבדיקת השפעת טמפרטורה על תוצאות הבליעה.

תוצאות

ערך ה-H_c שנמדד בסוף הניסוי היה 9.8, מכאן כי כמחצית מהאמוניה צפיה להיות בלתי מיוננת. בבחינת תוצאות הניסוי ניתן לראות כי ישנוシア באזור מס' גל⁻¹ 966cm⁻¹ מצוייה. ככל שהטמפרטורה גבוהה יותר כך גם יחידות הספיגה (UA) ברורות יותר. ההסבר לכך הוא שכלל שהטמפרטורה גבוהה יותר, כמות גדולה יותר של אمونיה בלתי מיוננת משתחררת מהמים, וכך שיכולה הרווחה של אמונייה יורדת עם העלייה בטמפרטורה. התוצאות מראות כי גם בטמפרטורה נמוכה עדין ניתן לזהות ריכוזים נמוכים של אמונייה. התוצאות גם מראות כי קיימש קשר קוויליאר בין יחידות הספיגה לבין הטמפרטורה שבה נבדקה התמיסה (איור מס' 10), מכאן כי ניתן לחזות את כמות האمونיה הבלתי מיוננת המשוחררת מהתמיסה אל תא הגז, בקורסיבציה לטמפרטורה הנבדקת. תוצאה זו מASHת את ההנחה הבסיסית של הניסוי כי שינוי טמפרטורה אינם אמורים להשפיע על זהויות האمونיה הבלתי מיוננת במים, ועל יכולת הכימות שלה. בוגוד לערכות הצבע שתליות בטמפרטורה ליצירת התגובה הנדרשת לזרחי, הספקטורומטר אמן מזהה בקלות רבה יותר, כמעט פ' 2 יחידות ספיגה, בטמפרטורות גבוהות יותר, אך יכול גם לזהות אמונייה בלתי מיוננת בטמפרטורות נמוכות. תוצאות אלו מתאימות לכך שבטמפרטורה גבוהה יש כמעט פ' 2 יותר אמונייה בלתי מיוננת חלק יחסית מהamuonia מאשר בטמפרטורה נמוכה. קירוב לינארי של התוצאות הנ"ל כתלות בטמפרטורה ניתן לראות באIOR מס' 11.



איור 10 : תוצאות ניסוי השפעות טמפרטורה. כחול- 5°C. סגול- 10°C. אדום- 15°C. ירוק- 20°C. שחור- 25°C. כתול- 30°C. ירוק כהה- 35°C.

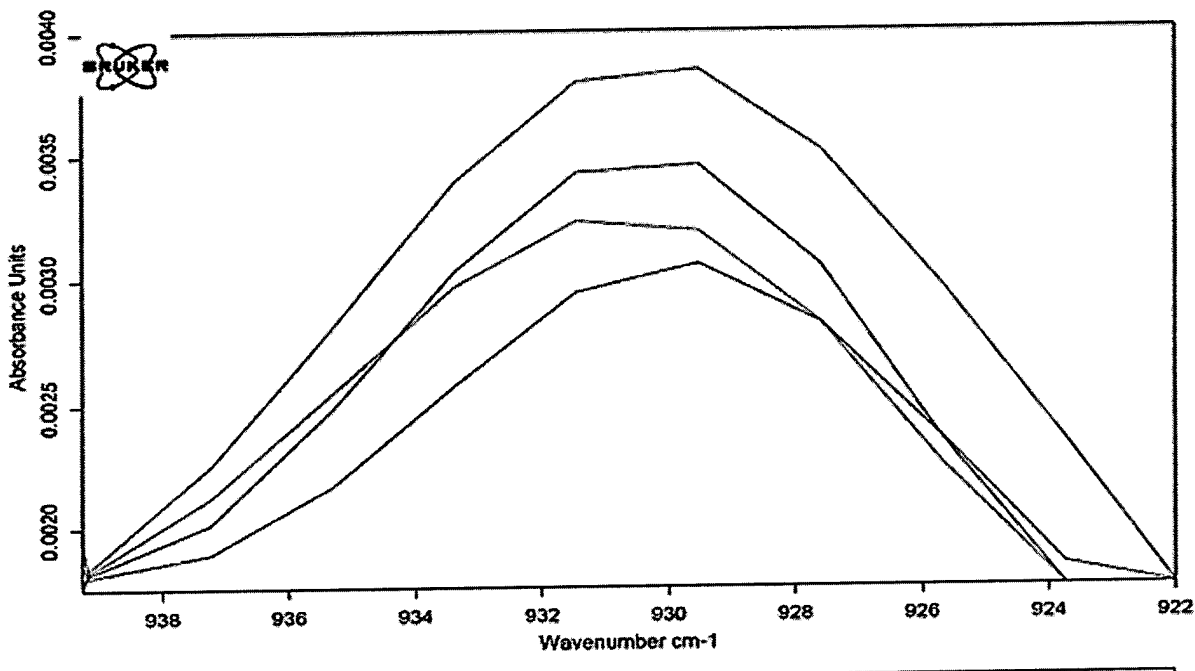


איור 11: קירוב לינארי של השתנות ריכוז האמונה כתלות בטמפרטורת המים כולל הקירוב הלינארי.

דיון ומסקנות

במערכת הניסויים בחנו את השפעות הטמפרטורה על שיטת מיצוי האמונה ע"י אקום, מן המים. ההנחה שלנו הייתה כי ככל שהטמפרטורה גבוהה יותר, כך יורדת המסימות של האמונה במים, ועליה ריכוזה בגז הנשאבים אל הספקטרומטר. המטרה שלנו הייתה לבחון את קצב השחרור בהנחה שנייה לתאר את קצב השחרור בעקבותה לינארית שתאפשר, בהתבסס על שנייה הטמפרטורה קבלת נתוני הריכוז המשתנים במים. המסקנה מן הניסוי היא כי אכן קיים קשר לינארי מובהק בין הטמפרטורה לחידות הקליטה של האמונה בספקטרומטר, כפי שבא לידי ביטוי באIOR מס' 11. חשוב לציין כי הניסוי בבחן את טווח הטמפרטורה הרלוונטי לביריות הדגים, יתכן כי בטמפרטורות נמוכות יותר התוצאות יהיו שונות כיוון שמתחלת ל- -2°C , המים ייקפו והאמונה תישאר במצב גדי. על פי תוצאות ניסוי זה אין ספק כי הקיראה של אמונה בטמפרטורות גבוהות קלה יותר (כמעט פי 2 לחידות קליטה), מאשר בטמפרטורות נמוכות, אך עדין ניתן לדחות אמונה בטמפרטורות נמוכות (ראה איור מס' 11).

לאחרונה שיפרנו עוד את מערכת המדידה תוך שימוש בתא גז בעל דרך אופטית ארוכה יותר. התוצאות במערכת המשופר מופיעות באIOR מס' 12.



C:\Program Files\OPUS\DATA\17_05_10_Ammonia\0.5ppm.0 0.5pm | Av. of 3 vac.res4.Glbhar.Ge\KBr\V3.DTGS\KB\HPF7\LPF3.Gai 10/05/2017
 C:\Program Files\OPUS\DATA\17_05_10_Ammonia\1ppm.0 1pm | Av. of 3 vac.res4.Glbhar.Ge\KBr\V3.DTGS\KB\HPF7\LPF3.Gai\Av 10/05/2017
 C:\Program Files\OPUS\DATA\17_05_10_Ammonia\2ppm.0 2pm | Av. of 3 vac.res4.Glbhar.Ge\KBr\V3.DTGS\KB\HPF7\LPF3.Gai\Av 10/05/2017
 C:\Program Files\OPUS\DATA\17_05_10_Ammonia\3ppm.0 3pm | Av. of 3 vac.read.Glbhar.Ge\KBr\V3.DTGS\KB\HPF7\LPF3.Gai\Av 10/05/2017

איור 12. 12cm^{-1}
Blue line - 0.5ppm, red - 1ppm, brown - 2ppm, green - 3ppm

התוצאות שבאיור מס' 12 מדבירות בעד עצמן ומכichtet את יעילות ואミニות השיטה. ניתן לראות כי באיזור פס הבלתי מתתקבל אות נקי מרעיש רקע אשר הוי חלק בלתי נפרד מהתוצאות מדידות הספקטרום במהלך שנת המחקה השנייה. בנוסף נציג כי נמדד רמות ריכוז אמונייה הנמוכות מ-1PPM.

לשיטת אשר פותחה במהלך המחקה ושופרה בשנת המחקה השלישי ישנים היתרונות הבאים:

- 1) מדידה ישירה של אמונייה על פי פס בלייה ייחודי של אמונייה שאיננו מופרע ע"י הבלתיות רבות של מים ומרכיבים אחרים בתוכם אשר קיימות בכל ספקטרות המדידה. לפיכך יכולנו למדוד נוכחות אמונייה במים בריכות דגים ללא צורך בסינון המים. בכל ניסוי נבדקה קודם כמות האמונייה באמצעות ערכות המקובלות כיום על מנת לבדוק התאמה בין השיטות ונמצאה התאמה טובה.
- 2) לאחר ומודדים ישירות את האמונייה (NH_4^+) שהינה רעליה ביוטר לדגים, ומדידה זו של האמונייה אינה תלויות בהק ועל כן כל צורך לבצע חישובים ותיקונים לערך המתתקבל כפי שנעשה ביום בערכות מדידה אחרות. באמצעות שימוש בערכות בהן משתמשים כיום ואשר מבוססות על מדידת יון האмонיום (NH_4^+) הנמצא בשווי משקל עם האמונייה חשוב לבדוק את ערכי ה H^+ שכך בתנאי H^+ בסיסיים שוויי המשקל נוטה לכיוון האמונייה הרעליה ומסוכנת יותר לדגים.
- 3) נבדקה גם השפעת הטמפרטורה של המים בעת הבדיקה שכן הטמפרטורה יכולה להשפיע על קצב המעבר של האמונייה מן המים לתא המדידה וכן נמצא שהתמפרטורה משפיעה על כמות האמונייה המגיע לתא המדידה וההשפעה הינה ביחס שיר כך שניתן לבצע תיקון אוטומטי לкриאה.
- 4) המדידה יכולה להתבצע בעומקים שונים ובזמן אמיתי

- 5) המדידה איננה דורשת מעורבות של חומרים כימיים ואיננה דורשת מעבדה (ראה נספח א').
- 6) ניתן בעזרתה למדוד גם ריכוזים נמוכים של 0.1 ppm אמונה ובכך יעליה למדידה בברכota הדגים שכן האמונה רעליה ביותר לדגים גם ברכיבים נמוכים אלה.
- 7) המכשיר הסופי יכול להיות קומפקטי, נייד וזול יחסית (ראה נספח א').
- מפתח קצר מקום לא פורטו כל הניסויים שבוצעו במהלך המבחן. פרוט מדויק של כלל העבודה המבחןית נמצא בעבודת המוסמך של הסטודנט אהרון גרבנרג אשר היה שותף לביצוע חלק לא מבוטל מהעבודה הניסوية.
- במהלך שנת המבחן השלישי נעשתה הערכה לגבי תכנון ובניה של מכשיר נייד וקומפקטי אשר יוכל לשמש לניטור אמונה רציף במי בריכות הדגים. המכשיר שפותח מותבסס על רכיבים אשר ניתנים להשגה באופן מסחרי כולל עליות. יצירת הוואקום יכולה להיעשות באמצעות משאבה פשוטה המצודה במכשיר הראשון ביתר לחץ דם שלולותה נמוכה מאוד. משאבה כזו הוגדרה בהצלחה רבה במעבדת המבחן. יצור באופן המוני של מכשיר המבחן שפותח יוזיל את מחירו באופן שייהי תחרותי לערוכות הקיימות. חשוב להציג לאחר הערות הראשונית של רכישת המכשיר אין צורך ברכישת חומרים נוספים לתפעולו. זאת בניגוד לערוכות הקיימות הדורשות רכישה חוזרת של חומרים כימיים לצורך המבדוק. בנוסף המכשירים הקיימים דורשים תחזוקה שוטפת בעוד שהמכשיר המוצע איננו נדרש לכך. קיימת התעניןנות רבה במכשיר ויש סיכוי טוב שנייתן יהיה לעשות בו שימוש בשטחי הביריות לטובות ענף גידול הדגים על פי הכוונה המקורית של מחקר זה.
- בנספח א' ניתן למצוא את הדוח בעניין פרוט מרכיבי המכשיר לניטור אמונה בבריכות דגים ועלויות רכישת המרכיבים.

ביבליוגרפיה

גרבןרג, א. (2016) פיתוח ובדיקה הייננות של שימוש בשיטות ספקטרומטריות לזייהו וניטור בזמן אמת של אמונה בלתי מיוננת במערכות לגידול דגים. עבודת תואר מוסמך (M.Sc.) בפקולטה למדעי החיים של אוניברסיטת בר-אילן, רמת גן.

1. Griffiths P. R., De Haseth J. A., (2007). Fourier transform infrared spectrometry. John Wiley & Sons. 171:1-18.
2. Li-Chan E., Chalmers J., Griffiths P., (2011). Applications of vibrational spectroscopy in Food Science. John Wiley & Sons.
3. OPUS http://shaker.umh.es/investigacion/OPUS_script/OPUS_5_BasePackage.pdf

מקורות נוספים עליהם התבוססו במהלך המבחן

4. Avnimelech Y., Diab S., Kochva M., Mokady S., (1992). Control and utilization of inorganic nitrogen in intensive fish culture ponds. Aquaculture and fisheries management. 23: 421-430.
5. Bernath P.F., (2005). Spectra of atoms and molecules. Second edition. Oxford university. 116-307.

6. Beveridge M.C.M., Little D.C., (2002). The history of aquaculture in traditional societies. Ecological aquaculture. Edited by Costa-Pierce B.A. Blackwell, Oxford. 3-27.
7. Bhatnagar A., Devi P., (2013). Water quality guidelines for management of pond fish culture. International journal of environmental science. 3:1980-2009.
8. Bower C.A., Bidwell J.P., (1978). Ionization of Ammonia in Seawater: Effects of Temperature, pH, and Salinity. Journal of fisheries research board of Canada. 35: 1012-1016.
9. Briand D., Manzardo O., de Rooij N.F., Hildenbrand J., Wollenstein, J. (2007). Gas detection using a micromachined FTIR spectrometer. Sensors, IEEE, 1364-1367.
10. Caglan A., Benli K., Koksal G., Ozkul A., (2008). Sub lethal ammonia exposure of Nile tilapia (*Oreochromis niloticus*) effect on gill, liver and kidney histology. Chemosphere.72: 1355-1358.
11. Dufour E., (2009). Principles of infrared spectroscopy. Infrared spectroscopy for food quality analysis and control. Edited by Da-Wen S. 1-27.
12. Durborow R.M., Crosby D.M., Brunson M.W., (1997). Ammonia in fishponds. Southern regional aquaculture center. Publication # 463.
13. El Shebly A.A., God H.A.M., (2011). Effect of chronic ammonia exposure on growth performance, serum growth hormone (GH) levels and gills histology of Nile tilapia (*Oreochromis niloticus*). Journal of microbiology and biotechnology research. 4: 183-197.
14. Emerson K., Russo R. C., Lund R. E., Thurston R. V., (1975). Aqueous ammonia equilibrium calculations: effect of pH and temperature. Journal of the Fisheries Board of Canada. 32: 2379-2383.
15. Hanssen L.M., Zhu C., (2002). Wavenumber Standards for Mid-infrared Spectrometry. Handbook of Vibrational Spectroscopy. Wiley Online Library.
16. Hargreaves J.A., Tucker C.S., (2004). Managing ammonia in fishponds. Southern regional aquaculture center. Publication # 4603.
17. Harris D.B., Shores R.C., Jones L.G., (2001). Ammonia emissions factors from swine finishing operations. 10th Annual international emission inventory conference.
18. Iqbal F., Qureshi I.Z., Ali M., (2005). Histopathological Changes in the Liver of a Farmed Cyprinid Fish, *Cyprinus carpio*, Following Exposure to Nitrate. Pakistan Journal of zoology. 37: 297-300.
19. Lewis Jr. W.M., Morris D.P., (1986). Toxicity of Nitrite to fish: a review. American fisheries society. 115: 183-195.
20. Mariey L., Signolle J.P., Amiel C., Travert J., (2001). Discrimination, classification, identification of microorganisms using FTIR spectroscopy and chemometrics. Vibrational spectroscopy. 26(2): 151-159.
21. Merino G., Barange M., Blanchard J.L., Harle J., Holmes R., Allen I., Jennings S., (2012). Can marine fisheries and aquaculture meet fish demand from a growing human population in a changing climate?. Global Environmental Change. 22(4): 795-806.

22. Ni J.Q., Heber A.J., (2001). Sampling and Measurement of Ammonia Concentration at Animal Facilities – A Review. ASAE Annual International Meeting.
- 23.
24. Ottinger M., Clauss K., Kuezner C., (2016). Aquaculture: Relevance, distribution, impacts and spatial assessments- A review. *Ocean and Coastal Management*. 119: 244-266.
25. Palmer C.A., Loewen E.G., (2005). Diffraction grating handbook. Springfield, Ohio, USA: Newport Corporation. 14-17.
26. Rotshild D., Azoulay Y., Ochana M., Shulzinger A., Abramovich A., (2015). Real time detection and recognition of micro-poisons in aqueous solutions and atmosphere using perfect absorber metamaterial in millimeter wavelength regime. In *Microwaves. COMCAS, 2015 IEEE International Conference*. 1-4.
27. Rotshild D., (2016). Real time detection and recognition of micro-poisons in aqueous solutions using advanced spectral methods. M.Sc. thesis in Engineering, Ariel University.
28. Schmitt J., Flemming H.C., (1998). FTIR- spectroscopy in microbial and material analysis. International biodeterioration & biodegradation. 41: 1-11.
29. Shulzinger A., Abramovich A., Farber E., (2009). Attenuated Total Reflectance (ATR)-FTIR spectral measurements in MIR and FIR (THz) range. Comcas 2009 conference. 1-3.
30. Socrates G., (2004). Infrared and Raman Characteristic Group Frequencies: Tables and Charts. third edition. Wiley-Blackwell.
31. Timmer B., Olthuis W., Van Den Berg A., (2005). Ammonia sensors and their applications—a review. *Sensors and Actuators B: Chemical*. 107: 666-677.
32. Zhou L., Boyd C.E., (2016). Comparison of Nessler, phenate, salicylate and ion selective electrode procedures for determination of total ammonia nitrogen in aquaculture. *Aquaculture*. 450: 187-193.

תומך

Preliminary design of prototype for real time monitoring of Ammonia and Oxygen levels in fishponds and its cost evaluation

1. Prototype description

In our recent research, we have developed a new method for real-time monitoring of ammonia (NH_3) levels in fishponds. The new method is based on evaporation of the pond's water and measuring the IR spectral signature of the evaporation in a sealed cell. Ammonia has a well-known absorption line at 966 cm^{-1} and we were able to measure Ammonia levels in the order of 1PPM and below as can be seen in Fig. 1.

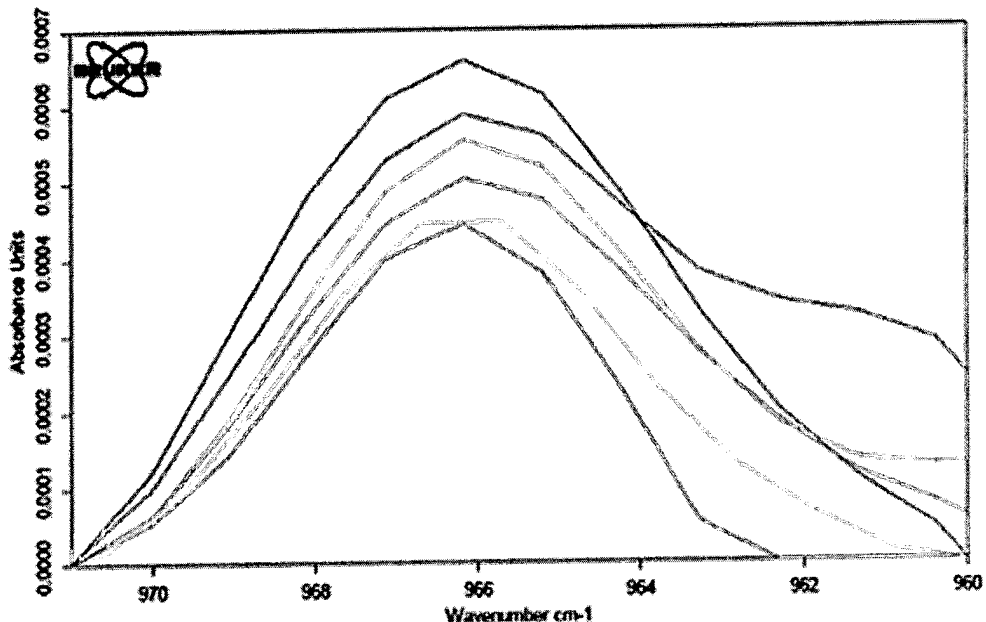


Figure 4: Spectra at the 966 cm^{-1} : light blue line - 0ppm of NH_3 ; blue - 0.2ppm; red - 0.4ppm; pink - 0.8ppm; light green - 1.6ppm; black - 4ppm (note that $966\text{cm}^{-1}=10.352\mu\text{m}$).

In order to realize compact mobile and inexpensive instrument we propose the following block diagram given in Fig. 2.

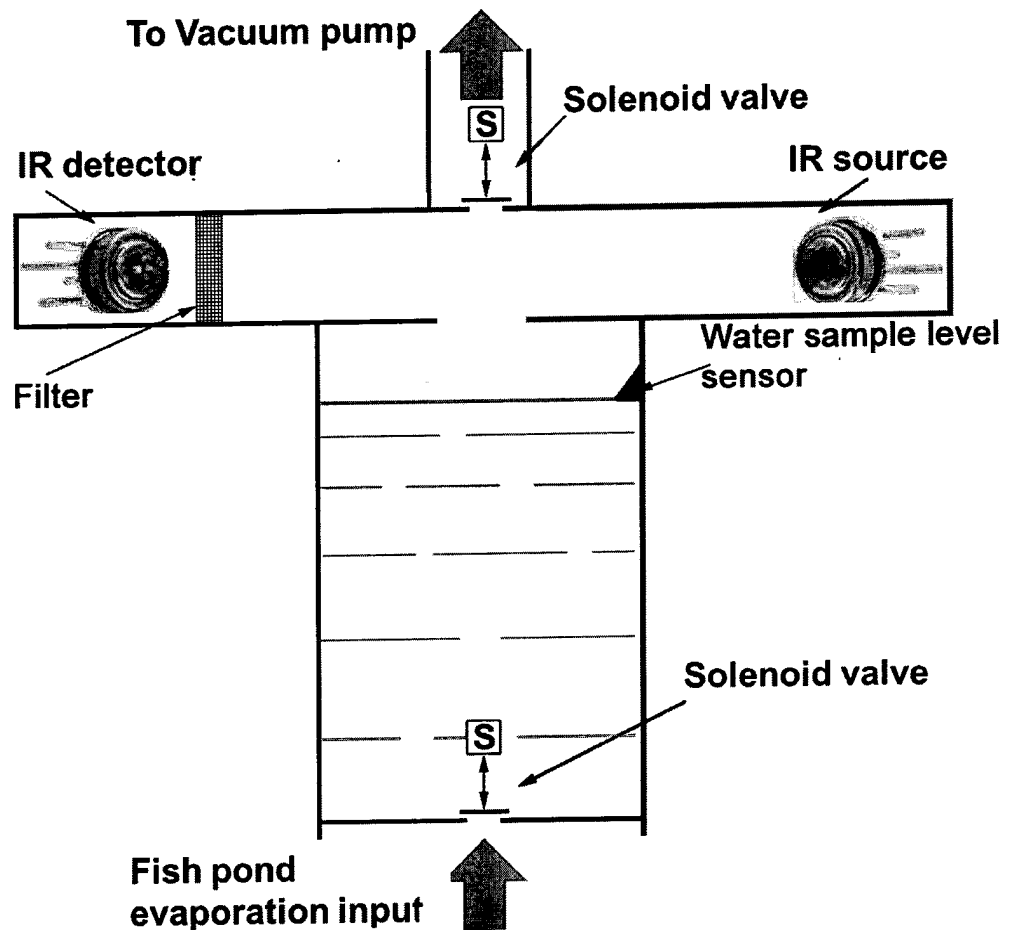


Figure 2: Block diagram of the real time Ammonia level monitoring in fish ponds

The prototype is composed of the following components IR source, $10\mu\text{m}$ filter and IR detector. The components are installed inside a sealed measurement cell which connects to a vacuum pump and to fish pond water evaporation input. The operation of the prototype is controlled by computer software. The measurement cycle of the prototype starts with sealing the vacuum measurement cell (Fish pond evaporation is closed), when vacuum is sufficient, a reference measurement of the IR radiation intensity is carried out by the IR detector. At this point the vacuum valve is closed and the fish pond evaporation vale is opened and IR signal measurement of the evaporation is carried out and compared to the reference signal yielding the Ammonia level in the evaporation. By using calibration tables of the IR detector, the Ammonia level in fish pond water can be determined accurately.

2. Prototype components

In order to carry out the spectral measurements around 966 cm^{-1} ($10.352\mu\text{m}$) as was indicated in our research (see Fig. 1), an IR source such as IRE-12 or Lamp Bulb, QTH, 50W of sciencetech® company can be used. An IR detector (of Melexis® Company) is required to measure the IR radiation intensity inside the sealed measurements cell. IR filters are required as well to filter out unnecessary wavelengths.

IR source (two options)

1. (IRE-12) Coiled Filament Infrared Emitter (1um - 30 um), 8W IR Source (cost \$260)

The IRE-12 is a coil filament based IR source with emissivity of approximately 0.8 (see Fig. 3). It emits in the IR spectral region of $1\mu\text{m}$ to approximately $30\mu\text{m}$. The model IRE-12 operates at 800°C @ 8 watts. However the emitter can be over powered to a higher temperature with a decrease in service life. It is appropriate for use in lab or field instrumentation due to its long life and stable properties. Please note this is only an IR emitter component and does not include a reflector or housing enclosure.

The radiating element is a coil of resistance wire which has a high emissivity in the infrared spectral region. The coil is supported on a grooved cylindrical substrate of alumina, resulting in the windings being electrically insulated from each other. This contributes to a more uniform radiating source. Two reflectors are available. One is a parabolic reflector and the other is a elliptical reflector. We can provide collimating optics using an AR coated ZnSe lens, a sapphire lens or an aluminum parabolic reflector. The IR emitter is not packaged in a housing with the reflector. It only comes in component form and the user needs to package it into a housing and provide electrical connection to the power supply. Should the constant voltage power supply or battery power supply be purchased, the socket harness for the IR emitter as well as corresponding cables are included. Nominal operating voltage: 6V at 1.8 amps.

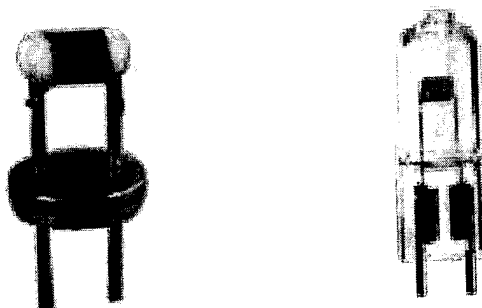


Figure 3: IRE-12 is a coil filament based IR source (right) and Lamp Bulb, QTH, 50W (left)

2. A 50W Quartz, Tungsten, Halogen bulb for Sciencetech's QTH housings (cost \$40)

A 50W Quartz, Tungsten, Halogen bulb for Sciencetech's QTH housings (See Fig. 3). Using this kind of lamp requires additional IR filter to cut out the Visual light in the case of our system.

IR detector

• Infrared Thermometer - MLX90614 (cost \$20)

Melexis'® MLX90614ESF-BAA is an infrared thermometer designed for non-contact temperature sensing. An internal 17-bit ADC and a powerful DSP contribute to the MLX90614's high accuracy and resolution. It has a huge number of applications including body temperature measurement and movement detection. The MLX90614 provides two methods of output: PWM and SMBus (i.e. TWI, I2C). The 10-bit PWM output provides a resolution of 0.14°C , while the TWI interface has a resolution of 0.02°C . The MLX90614 is factory calibrated in wide temperature ranges: -40 to 85°C for the ambient temperature and -70 to 382.2°C for the object temperature. The measured value is the average temperature of all objects in the Field Of View of the sensor. The MLX90614 offers a standard accuracy of 0.5°C around room temperatures. This device comes in an industry standard TO-39 package. Fig. 4 shows the IR detector.



Figure 4: Infrared Thermometer - MLX90614

IR Filter

• THz Bandpass Filters: $10 \mu\text{m} - 590 \mu\text{m}$ Center Wavelength (\$700)

Thorlabs'® Far-Infrared and Terahertz Bandpass Filters provide high-spectral-resolution filtering with center wavelengths (CWLs) from 10 to $590 \mu\text{m}$ (30.0 THz to 510 GHz). With more than 70% transmission at the CWL, these filters are fabricated from gold-mesh frequency-selective surfaces designed to reject out-of-band radiation primarily by reflection and destructive interference. Fig. 5 shows this filter and its transmission function.

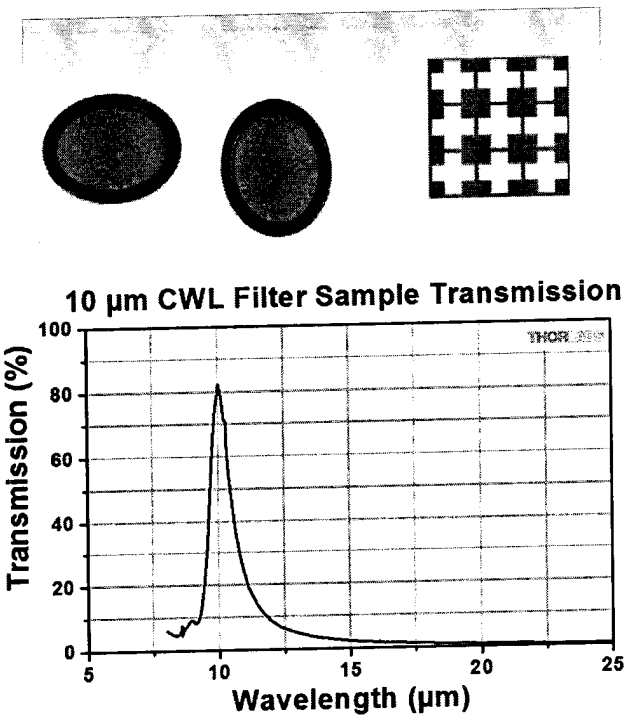


Figure 5: FB19M10 10 μm (30.0 THz) BPF photo (top) and transmission function (bottom)